

示踪原子离子交换法测定铕的络合物稳定常数 ——铕和硝酸盐、氯化物、硫酸盐 及醋酸盐的络合作用

江 林 根

(北京大学技术物理系)

一、前 言

应用示踪原子离子交换法研究溶液中金属离子的络合状态是一种比较简单的方法，它能较快地确定溶液中金属络合物的生成情况和络合物稳定常数。

J. Schubert^[1] 最早利用阳离子交换剂测定了络合物的稳定常数。S. Fronæus^[2] 等在这方面也进行了一系列的工作。有关铕(Eu)的络合工作曾有过一些报道^[3, 4]。

本文是以^{152, 154}Eu 作为示踪原子，用离子交换树脂研究了铕在低浓条件下，在不同酸度、不同离子强度时与无机酸(硝酸、盐酸、硫酸)、有机酸(醋酸)盐的络合情况，并测定了各级络合常数。

在本文研究的体系中，假定阴离子^{152, 154}Eu³⁺ 和配位体(NO₃⁻、Cl⁻、SO₄²⁻ 和 Ac⁻)只形成单核络合物。在溶液中加入配位体前后，用离子交换法测定了金属离子^{152, 154}Eu³⁺ 在树脂和溶液间的分配系数，并应用 S. Fronæus 计算方法^[5] 和实验结果得到相应的各级络合物稳定常数。

二、实 验 部 分

1. 试 剂

国产^{152, 154}Eu(ClO₄)₃ 溶液：用“绝对图解法”测定 β 射线能量鉴定 Eu 的纯度，实验测得结果与文献值一致。分析纯高氯酸钠、硝酸钠、氯化钠、硫酸钠和醋酸钠。120~160目 Zerolit-225 Na 型强酸型阳离子交换树脂。

2. 实 验 方 法

(1) 玻璃器皿壁对^{152, 154}Eu 的吸附试验 在一组 50 毫升磨口锥形瓶中，加入 30 毫升 1 N NaClO₄-^{152, 154}Eu³⁺ 溶液 (pH=1.0 或 >1.0) 后，在机械振荡器上振荡。经过不同振荡时间后，分别取样测量放射性强度。实验结果证明，当溶液 pH>1 时，玻璃器皿壁对^{152, 154}Eu³⁺ 有吸附。因此在溶液 pH>1 时，将所用的器皿壁预先用三氯硅甲烷(CH₃SiCl₃)-CCl₄ 溶液进行处理。处理后的玻璃器皿壁不吸附^{152, 154}Eu³⁺。在溶液 pH<1 条件下进行实验时，玻璃器皿壁不作预处理。

(2) 吸附平衡时间试验 在一组分别盛有 500 毫克阳离子交换树脂的 50 毫升磨口锥形瓶中，依次加入 30 毫升 1 N NaClO₄-^{152, 154}Eu³⁺ 溶液，经过不同的振荡平衡时间后，分

别取样测量。实验结果如图 1 所示。在本文中全部实验均采用振荡平衡 1 小时。

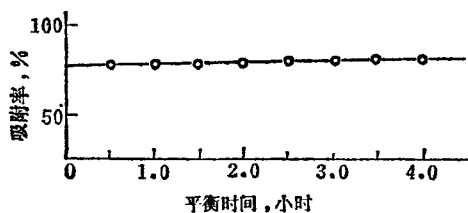


图 1 吸附平衡时间与吸附率的关系

(3) 吸附平衡实验 取一组 50 毫升磨口锥形瓶(在平衡溶液 $\text{pH} > 1$ 时, 锥形瓶壁经过预处理), 每个瓶中盛有 500 毫克 Na 型 Zerolit-225 阳离子交换树脂; 分别加入 30 毫升含有不同浓度配位体 (NaNO_3 、 NaCl 、 Na_2SO_4 或 NaAc) 的 NaClO_4 溶液, 再加入 $^{152},^{154}\text{Eu}(\text{ClO}_4)_3$ 溶液 1~2 滴, 保证在吸附平衡后能得到合适的测量放射性强度。各组实验溶液都维持恒定的离子强度。振荡平衡 1 小时, 然后测量原始溶液和平衡溶液的放射性, 由计算得到络合物稳定常数。

3. 实验结果和数据处理

(1) $^{152},^{154}\text{Eu}^{3+}-\text{NaNO}_3-\text{NaClO}_4$ 体系和 $^{152},^{154}\text{Eu}^{3+}-\text{NaCl}-\text{NaClO}_4$ 体系($\mu = 1.10, 2.10$)
实验结果见图 2、图 3。当溶液的离子强度恒定时, 阳离子交换树脂对 $^{152},^{154}\text{Eu}^{3+}$ 的吸附百分率随着溶液中配位体 (NO_3^- 或 Cl^-) 浓度的增加而下降。

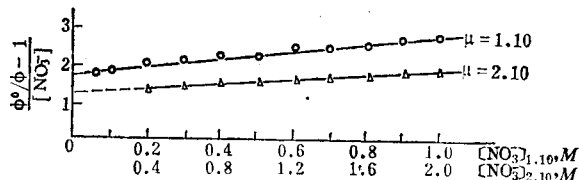


图 2 在 $\text{NaNO}_3-\text{NaClO}_4$ 溶液中 Zerolit-225
Na 型阳离子交换树脂对 $^{152},^{154}\text{Eu}^{3+}$ 的吸附

$$\text{pH} = 1.0; \frac{V}{m} = 0.06; t = 10^\circ\text{C}.$$

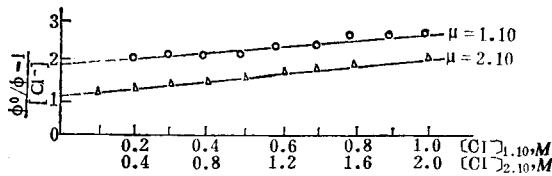


图 3 在 $\text{NaCl}-\text{NaClO}_4$ 溶液中 Zerolit-225
Na 型阳离子交换树脂对 $^{152},^{154}\text{Eu}^{3+}$ 的吸附

$$\text{pH} = 1.0; \frac{V}{m} = 0.06; t = 8^\circ\text{C}.$$

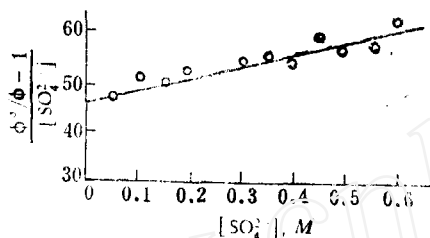
由实验结果计算得到络合物稳定常数 β_1 和 β_2 (见表 1)。

表 1 在 $\text{NaNO}_3\text{-NaClO}_4$ 和 NaCl-NaClO_4 溶液中 Eu^{3+} 和 NO_3^- , Cl^- 的络合物稳定常数 β_1 , β_2 值

| 元 素 | 配 位 体 | 离 子 强 度 | 温 度, $^{\circ}\text{C}$ | 酸 度, pH | β_1 | β_2 |
|------------------|-----------------|---------|-------------------------|---------|-----------------|-------------|
| Eu^{3+} | NO_3^- | 1.10 | 10 | 1.0 | 1.70 ± 0.08 | ~ 0.11 |
| | | 2.10 | 10 | 1.0 | 1.27 ± 0.06 | ~ 0.06 |
| | Cl^- | 1.10 | 8 | 1.0 | 1.88 ± 0.09 | ~ 0.09 |
| | | 2.10 | 8 | 1.0 | 1.10 ± 0.05 | ~ 0.09 |

(2) $^{152,154}\text{Eu}^{3+}\text{-Na}_2\text{SO}_4\text{-NaClO}_4$ 体系 ($\mu=2.0$)

实验结果见图 4。硫酸是二元酸,但是在本实验条件下(pH 值较大时), $[\text{HSO}_4^-]$ 与 $[\text{SO}_4^{2-}]$ 比较,前者可以忽略。因此仍然可以当作只有 SO_4^{2-} 和 $^{152,154}\text{Eu}^{3+}$ 的络合。

图 4 在 $\text{Na}_2\text{SO}_4\text{-NaClO}_4$ 溶液中 Zerolit-225 Na 型阳离子交换树脂对 $^{152,154}\text{Eu}^{3+}$ 的吸附

$$\mu=2.0; \text{ pH}=4.4; \frac{V}{m}=0.06; t=22.5^{\circ}\text{C}.$$

根据 $\text{Eu}(\text{OH})_3$ 的溶度积, 我们选择了 $\text{pH}<5$ 的条件下进行实验。结果与 B.I.Iapa-MONOVA^[6] 实验结果一致。树脂对 $^{152,154}\text{Eu}^{3+}$ 的吸附%亦随着溶液中 $[\text{SO}_4^{2-}]$ 浓度的增加而减少。由此计算出相应的络合物稳定常数: $\beta_1=46 \pm 2.3$; $\beta_2=18 \pm 2.7$ ($\mu=2.0$, $t=22.5^{\circ}\text{C}$)。

(3) $^{152,154}\text{Eu}^{3+}\text{-NaAc-NaClO}_4$ 体系表 2 在 NaAc-NaClO_4 溶液中 Zerolit-225 Na 型阳离子交换树脂对 $^{152,154}\text{Eu}^{3+}$ 的吸附

$$\text{pH}=4.90; \mu=0.50; \frac{V}{m}=0.06; t=16^{\circ}\text{C}.$$

| 编 号 | $[\text{Ac}^-] \text{, M}$ | 吸 附 率, % | ϕ | $\phi^0/\phi - 1$ | ϕ_1^* | f^* | $\Delta f/[\text{A}]$ | $\Delta \phi_1/[\text{A}]$ | g |
|-----|----------------------------|----------|--------|-------------------|------------|-------|-----------------------|----------------------------|-------|
| 0 | 0.0000 | 97.69 | 2.537 | — | — | — | — | — | — |
| 1 | 0.0645 | 91.45 | 0.642 | 2.953 | 45.78 | 822 | 6853 | 322 | 12300 |
| 2 | 0.129 | 79.77 | 0.237 | 9.70 | 75.19 | 1490 | 8605 | 389 | 21440 |
| 3 | 0.164 | 72.50 | 0.158 | 15.05 | 91.77 | 1887 | 9189 | 407 | 26740 |
| 4 | 0.194 | 65.90 | 0.116 | 20.87 | 107.6 | 2263 | 9706 | 426 | 31710 |
| 5 | 0.226 | 58.71 | 0.085 | 28.85 | 127.7 | 2737 | 10430 | 454 | 37950 |
| 6 | 0.259 | 52.30 | 0.066 | 37.44 | 144.5 | 3153 | 10710 | 461 | 43360 |
| 7 | 0.291 | 46.64 | 0.053 | 46.87 | 161.1 | 3559 | 10930 | 468 | 48560 |
| 8 | 0.323 | 42.35 | 0.044 | 56.79 | 175.8 | 3929 | 11210 | 480 | 53310 |

* ϕ_1, f 值相应由 $\phi_1^0=25, f^0=380$ 计算得到的。表中 $\phi, \phi^0, \phi_1, f, g$ 的含义见文献[5]。

醋酸 (HAc) 是个弱酸, 它在水溶液中的解离度随着溶液 pH 值的增大而增加。因此必须在较高 pH 值条件下, 才能保证有足够大的配位体浓度。

① $^{152},^{154}\text{Eu}^{3+}-\text{NaAc}-\text{NaClO}_4$ 体系 ($\mu=0.50$) 由实验得到的结果列于表 2。计算得到相应的 β 值: $\beta_1=27.8 \pm 1.4$; $\beta_2=302 \pm 45$ ($\mu=0.50$; $t=16^\circ\text{C}$)。

② $^{152},^{154}\text{Eu}^{3+}-\text{NaAc}-\text{NaClO}_4$ 体系 ($\mu=1.0$) 由实验得到的结果列于表 3。用同样方法进行计算得到相应的 β 值: $\beta_1=60 \pm 3$; $\beta_2=918 \pm 140$; $\beta_3=7000 \pm 2100$ ($\mu=1.0$; $t=16-18^\circ\text{C}$)。

表 3 在 $\text{NaAc}-\text{NaClO}_4$ 溶液中 Zerolit-225 Na 型阳离子交换树脂对 $^{152},^{154}\text{Eu}^{3+}$ 的吸附

$$\text{pH}=4.88; \quad \mu=1.0; \quad \frac{V}{m}=0.06; \quad t=16 \sim 18^\circ\text{C}.$$

| 编 号 | $[\text{Ac}^-], M$ | 吸附率, % | ϕ | $\phi^0/\phi - 1$ | ϕ_1^* | f^* | $\Delta f/[\text{A}]$ | $\Delta \phi_1/[\text{A}]$ | g |
|-----|--------------------|--------|--------|-------------------|------------|-------|-----------------------|----------------------------|--------|
| 0 | 0.000 | 94.95 | 1.128 | — | — | — | — | — | — |
| 1 | 0.065 | 77.39 | 0.205 | 4.50 | 69.23 | 2404 | 13138 | 435 | 50052 |
| 2 | 0.130 | 56.43 | 0.078 | 13.46 | 103.54 | 3764 | 17031 | 231 | 82386 |
| 3 | 0.195 | 40.33 | 0.041 | 26.51 | 133.95 | 5067 | 18138 | 487 | 112636 |
| 4 | 0.325 | 21.06 | 0.016 | 69.50 | 213.85 | 8237 | 20575 | 532 | 183264 |
| 5 | 0.390 | 15.50 | 0.011 | 101.55 | 260.38 | 10113 | 21956 | 563 | 225155 |
| 6 | 0.520 | 9.34 | 0.006 | 187.00 | 389.62 | 14132 | 24196 | 613 | 314683 |
| 7 | 0.650 | 4.94 | 0.003 | 375.00 | 576.92 | 22829 | 32737 | 825 | 508268 |

* ϕ_1, f 值相应由 $\phi_1^0=41, f^0=1550$ 计算得到的。

③ $^{152},^{154}\text{Eu}^{3+}-\text{NaAc}-\text{NaClO}_4$ 体系 ($\mu=2.0$) 由实验得到的结果列于表 4。用多次近似法求得经过三次校正后的 β_1 值, 再由此计算得到相应的 β 值: $\beta_1=160 \pm 8$; $\beta_2=4800 \pm 720$; $\beta_3=(4.5 \pm 1.4) \times 10^4$ ($\mu=2.0$, $t=22^\circ\text{C}$)。

表 4 在 $\text{NaAc}-\text{NaClO}_4$ 溶液中 Zerolit-225 Na 型阳离子交换树脂对 $^{152},^{154}\text{Eu}^{3+}$ 的吸附

$$\text{pH}=4.75; \quad \mu=2.0; \quad \frac{V}{m}=0.06; \quad t=22^\circ\text{C}.$$

| 编 号 | $[\text{Ac}^-], M$ | ϕ | $\phi^0/\phi - 1$ | ϕ_1^* | $f^* \times 10^4$ | $\Delta f/[\text{A}]$ | $\Delta \phi_1/[\text{A}] \times 10^3$ | $g_1 \times 10^5$ | $g_2 \times 10^5$ | $g_3 \times 10^5$ |
|-----|--------------------|--------|-------------------|------------|-------------------|-----------------------|--|-------------------|-------------------|-------------------|
| 0 | 0.0000 | 0.240 | — | — | — | — | — | — | — | — |
| 1 | 0.0200 | 0.064 | 2.750 | 137.5 | 1.675 | 152.2 | 1.739 | 2.29 | 5.90 | 6.98 |
| 2 | 0.0400 | 0.034 | 6.058 | 151.4 | 1.845 | 135.7 | 1.575 | 2.45 | 6.39 | 7.59 |
| 3 | 0.0600 | 0.022 | 9.91 | 165.1 | 2.016 | 131.9 | 1.535 | 2.65 | 6.95 | 8.26 |
| 4 | 0.0800 | 0.0155 | 14.48 | 181.0 | 2.212 | 129.4 | 1.454 | 3.00 | 7.61 | 9.04 |
| 5 | 0.100 | 0.0115 | 19.86 | 198.6 | 2.430 | 128.0 | 1.373 | 3.17 | 8.34 | 9.92 |
| 6 | 0.150 | 0.0064 | 36.05 | 243.3 | 2.988 | 126.9 | 1.278 | 3.89 | 10.24 | 12.18 |
| 7 | 0.200 | 0.0038 | 62.16 | 310.8 | 3.824 | 125.7 | 1.082 | 4.95 | 13.08 | 15.57 |

* ϕ_1, f 值相应由 $\phi_1^0=126, f^0=1.5 \times 10^4$ 计算得到的。

三、讨 论

1. 在处理 NaNO_3 、 NaCl 和 Na_2SO_4 体系实验数据时, 根据前人的工作介绍, 镨系元素和上述配位体一般只生成一种络合物。因此, 以 $\log(\phi^0/\phi - 1)$ 对 $\log [\text{A}]$ 作图应当得

到一条直线。但是从我们的实验结果得到的不是一条光滑的直线。如图 5 所示, 当溶液中配位体浓度较大时, 曲线向上弯曲, 而且直线部分的斜率亦大于 1。可见在溶液中不只生成一种络合物; 而有二级络合物存在。因此必须用下述方法进行数据处理。

$$\phi = \frac{C_{MR}}{[M] + [MA_1] + [MA_2]}, \quad \phi^0 = \frac{C_{MR}}{[M]},$$

$$\begin{aligned} \phi^0/\phi &= 1 + \frac{[MA_1]}{[M]} + \frac{[MA_2]}{[M]} \\ &= 1 + \beta_1[A] + \beta_2[A]^2, \end{aligned}$$

$$\therefore \phi^0/\phi - 1/[A] = \beta_1 + \beta_2[A]$$

以此进行数据处理获得了满意的结果。亦证明了溶液中存在有 MA、MA₂ 络合物。

2. 在 NaAc-NaClO₄ ($\mu=1.0$) 体系中由我们所得的实验结果, 与前人在相似实验方法和实验条件下, 对其它镧系元素所获得的实验结果进行了比较。列表如下:

表 5 本文作者与前人所得结果的比较

| 元 素 | 原 子 序 数 | 实 验 方 法 | 离 子 强 度 | 温 度, °C | β_1 | β_2 | β_3 | 文 献 |
|---------|---------|---------|---------|---------|------------|----------------|-----------------|-----|
| Ce(III) | 58 | 离子交换 | 1.0 | 20 | 48 ± 2 | 450 ± 80 | 1700 ± 500 | [7] |
| Eu(III) | 63 | 离子交换 | 1.0 | 16—18 | 60 ± 3 | 918 ± 140 | 7000 ± 2100 | 本文 |
| Gd(III) | 64 | 离子交换 | 1.0 | 20 | 66 ± 3 | 1350 ± 250 | 9000 ± 3000 | [8] |

由表 4 可见, 在离子强度 $\mu=1.0$ 时, 所获得的实验结果与前人工作基本上一致。但在 $\mu=0.50$ 时, 我们借用了在 $\mu=0.2$ 时 HAc 的解离常数值 $p k_a = 4.64$ (25°C) 来计算平衡溶液中配位体的浓度, 因此给实验结果可能带来一定的误差。

金碧丽、谢国梅、柴德安、石本安曾参加部分工作。

参 考 文 献

- [1] J. Schubert, *Ann. Rev. Phys. Chem.*, **5**, 413 (1954).
- [2] S. Fronæus, *Acta Chem. Scand.*, **5**, 859 (1951).
- [3] G. R. Choppin et al., *J. Inorg. Nucl. Chem.*, **32**, 3283 (1970).
- [4] B. П. Васильев и др., *Жур. Неор. Хим.*, **22**, 1160 (1977).
- [5] 章开诚, 化学通报, **4**, 25 (1962).
- [6] B. И. Парамонова и др., *радиохимия*, **5**, 63 (1963).
- [7] S. Fronæus, *Svensk. Kem. Tidskr.*, **65**, 19 (1953).
- [8] A. Sonesson, *Acta Chem. Scand.*, **13**, 1437 (1959).

(编辑部收到日期: 1979年10月1日)

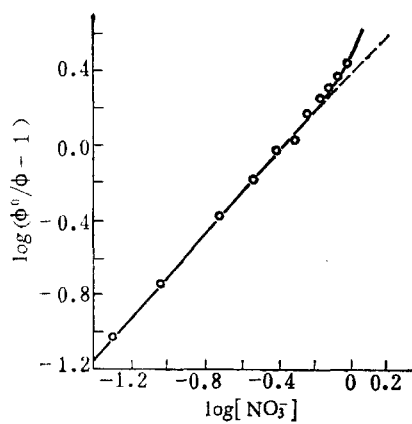


图 5 $\log[\text{NO}_3^-]$ 和 $\log(\frac{\phi^0}{\phi} - 1)$ 关系